



10V8EN



بررسی رفتار و عملکرد خطوط لوله مدفون روی گسل

میر مهدی حسینی

اساتید راهنما:

دکتر کاظم بدو

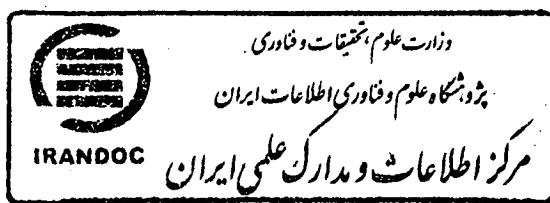
دکتر هادی بهادری

پایان نامه برای دریافت درجه کارشناسی ارشد

دانشکده فنی

گروه عمران

تابستان ۱۳۸۹



۱۵۷۵۴۸

پایان نامه خلم / آقای میر بهرام حبیبی . به تاریخ ۱۳ مرداد ۸۹
شماره مورد پذیرش هیات محترم داوران بارتبع . بسیار خوب
و نمره ۱۷/۸ اقدار گرفت .

هدنه و فناوری هایم

- ۱ - استاد راهنمای رئیس هیئت داوران : دکتر ماظم لزو
 - ۲ - داور خارجی : دکتر سعید آرزو درملو
 - ۳ - داور داخلی : دکتر سعید عامل سعی
 - ۴ - نماینده تحصیلات تكميلي : دکتر صبار نوری تنا
- نفره -

حق چاپ و نشر برای دانشگاه ارومیه محفوظ می باشد .

چکیده:

خطرات لرزه ای تهدید کننده لوله های مدفون به طور کلی در دو گروه الف) جابجایی های ماندگار زمین شامل: گسلش، زمین لغزه، روانگرایی و ترک خوردگی زمین، ب) حرکات لرزشی زمین دسته بندی می شود. در کشور ما به لحاظ لرزه خیز بودن آن و نو بودن موضوع، این بحث حائز اهمیت بوده و نیازمند تحقیقات وسیعتری می باشد. هدف تحقیق، بررسی رفتار و عملکرد لوله های مدفون در برابر گسلش می باشد. این پدیده باعث وارد شدن خسارات شدید به خطوط لوله شده و سلامت و ایمنی مردم را به خطر می اندازد. به همین منظور، مدل عددی دو بعدی سیستم مرکب خاک- لوله توسط نرم افزار تفاضل محدود (2D FLAC) تهیه شده است و تأثیر پارامترهای مختلف مورد ارزیابی قرار گرفته است. تحلیل ها نشان می دهند برای دو نوع گسل نرمال و معکوس، افزایش زاویه گسل بالاترداد خط لوله، کاهش ضخامت جدار لوله و افزایش عمق دفن لوله موجب افزایش لنگر خمشی حداقل وارد شده به لوله می شود.

فهرست مطالب

صفحه

عنوان

I.....	فهرست مطالب
V.....	فهرست اشکال
X.....	فهرست جداول

فصل اول: کلیات

۱.....	۱-۱- مقدمه
۲.....	۱-۲- هدف تحقیق
۳.....	۱-۳- فرضیات تحقیق
۴.....	۱-۴- روش تحقیق
۵.....	۱-۵- فصل بندی پایان نامه

فصل دوم: ادبیات فنی و پیشینه موضوع

۵.....	۲-۱- مقدمه
۶.....	۲-۲- دسته‌بندی خطوط لوله
۷.....	۲-۲-۱- خطوط لوله مدفون و روزمنی
۸.....	۲-۲-۲- خطوط لوله با اتصالات صلب و انعطاف‌پذیر
۹.....	۲-۲-۳- لوله‌های با مقطع صلب و انعطاف‌پذیر
۱۰.....	۲-۲-۴- خطوط لوله تحت فشار و تحت جریان ثقلی
۱۱.....	۲-۲-۵- رده‌بندی عملکرد لرزه ای لوله‌ها
۱۲.....	۲-۳- بارهای وارد بر لوله‌های مدفون
۹.....	۲-۴- تاریخچه‌ای از آمار خرابی لوله‌های مدفون در زلزله‌های گذشته
۱۰.....	۲-۴-۱- زلزله ۱۹۲۳ کانتو ژاپن
۱۱.....	۲-۴-۲- زلزله ۱۹۶۴ نیگاتا ژاپن
۱۱.....	۲-۴-۳- زلزله ۱۹۷۱ سان فرناندو ایالات متحده
۱۲.....	۲-۴-۴- زلزله ۱۹۸۵ مکزیکوسیتی

۱۲.....	۴-۲- زلزله ۱۹۹۰ منجل ایران.....
۱۲.....	۶-۴-۲- زلزله ۱۹۹۴ نورث ریچ ایالات متحده.....
۱۳.....	۷-۴-۲- زلزله ۱۹۹۵ کوبه ژاپن.....
۱۳.....	۸-۴-۲- زلزله ۱۹۹۹ ازمیت ترکیه.....
۱۴.....	۵-۲- انواع خطرات لرزه‌ای تهدید کننده لوله‌های مدفون.....
۱۵.....	۱-۵-۲- جابجایی موقت زمین
۱۶.....	۲-۵-۲- حرکت دائمی زمین.....
۱۷.....	۶-۲- رفتار لوله‌های مدفون در برابر انتشار امواج لرزه‌ای.....
۱۹.....	۷-۲- گسیختگی سطحی (گسلش).....
۲۱.....	۱-۷-۲- تحلیل خطر برای جابجایی زمین در گسل
۲۴.....	۸-۲- روانگرایی.....
۲۷.....	۱-۸-۲- تحلیل خطر برای جابجایی زمین در روانگرایی.....
۳۰.....	۹-۲- زمین لغزه.....
۳۳.....	۱۰-۲- نشست زمین.....
۳۳.....	۱۱-۲- انواع مدل‌های تحلیلی لوله‌های مدفون.....
۳۴.....	۱-۱۱-۲- روش گراف.....
۳۴.....	۲-۱۱-۲- روش استاتیکی معادل.....
۳۵.....	۳-۱۱-۲- روش المان محدود.....
۳۶.....	۱۲-۲- مطالعات آزمایشگاهی
۴۱.....	۱-۱۲-۲- نحوه عملکرد دستگاه سانتریفیوژ.....
۴۲.....	۱۳-۲- مطالعات عددی.....

فصل سوم: مدلسازی عددی با استفاده از نرم‌افزار FLAC^{2D}

۴۸.....	۱-۳- مقدمه
۴۸.....	۲-۳- آشنایی با نرم‌افزار FLAC
۴۹.....	۳-۳- مدلسازی با روش‌های عددی
۵۰.....	۱-۳-۳- روش تفاضل محدود.....
۵۱.....	۴-۳- روش تفاضل محدود در نرم‌افزار FLAC

۱-۴-۳- تحلیل لاگرانژی	۵۳
۲-۴-۳- تحلیل خمیری	۵۳
۳-۵- روابط آنالیز عددی در نرم افزار FLAC	۵۳
۳-۱-۵-۲- المان بندی	۵۳
۳-۲-۵-۲- معادلات تفاضل محدود	۵۴
۳-۳-۵-۳- محاسبه نرخ کرنش	۵۵
۳-۴-۵-۳- محاسبه تنش ها	۵۵
۳-۵-۵-۳- محاسبه نیرو، سرعت و جابجایی گرهی	۵۵
۳-۶-۵-۳- محاسبه نیروی نامتعادل گرهی	۵۶
۳-۷-۵-۳- محاسبه هندسه اصلاح شده	۵۶
۳-۸-۵-۳- تعادل عددی	۵۷
۳-۶-۲- اثر متقابل آب و فاز جامد (آنالیز تراوش) در نرم افزار FLAC	۵۸
۳-۷-۲- المانهای سازه‌ای در نرم افزار FLAC	۵۹
۳-۱-۷-۳- المانهای تیر	۶۱
۳-۸-۲- سطوح مشترک در نرم افزار FLAC	۶۳
۳-۹-۲- مراحل کلی مدلسازی در برنامه نرم افزار FLAC ^{2D}	۶۶
۳-۱-۹-۳- انتخاب محدوده مناسبی از توده سنگ یا خاک	۶۶
۳-۲-۹-۳- انتخاب مدل رفتار مناسب و تعیین پارامترها	۶۶
۳-۳-۹-۳- اعمال شرایط مرزی و تنش های اولیه	۶۷
۳-۴-۹-۳- حل مدل تا رسیدن به تعادل	۶۸
۳-۵-۹-۳- ایجاد تغییر در مدل	۶۸
۳-۶-۹-۳- حل مجدد مدل	۶۸
۳-۷-۹-۳- تعیین تعداد درجات آزادی مدل	۶۸
۳-۱۰-۳- الگوریتم حل مدل در نرم افزار FLAC	۶۹
۳-۱۱-۳- مدلهای رفتاری مصالح در نرم افزار FLAC	۷۰
۳-۱-۱۱-۳- مدل موهر- کولمب	۷۲
۳-۲-۱۱-۳- مدل نرم‌شوندگی/ سخت‌شوندگی کرنشی	۷۳

فصل چهارم: مطالعات عددی و آنالیز پارامتریک لوله های مدفون

۱-۴- مقدمه	۷۴
۴-۲- مدلسازی مساله لوله مدفون:	۷۴
۴-۳- بررسی صحت مدلسازی عددی	۷۶
۴-۴- مدل لوله مدفون در تقاطع با گسل	۷۹
۴-۴-۱- گسل نرمال	۷۹
۴-۴-۲- گسل معکوس	۹۰
۴-۴-۳- مطالعه پارامتریک عملکرد لوله مدفون روی گسل	۹۸
بررسی تاثیر پارامترهای هندسی بر عملکرد لوله مدفون	
۴-۵-۱- ضخامت جداره لوله	۹۸
۴-۵-۲- قطر لوله	۱۰۳
۴-۵-۳- عمق دفن لوله	۱۰۷
۴-۵-۴- بررسی تاثیر پارامترهای مقاومتی خاک بر عملکرد لوله مدفون	۱۱۱
۴-۵-۵- بررسی تاثیر خاک لایه ای بر عملکرد لوله مدفون	۱۱۵

فصل پنجم: نتایج آنالیز پارامتریک عملکرد لوله مدفون روی گسل

۱-۵- تاثیر نوع و زاویه گسل	۱۱۸
۱-۵-۱- گسل نرمال	۱۱۸
۱-۵-۲- گسل معکوس	۱۱۹
۱-۵-۳- تاثیر ضخامت جداره	۱۲۰
۱-۵-۴- تاثیر قطر لوله	۱۲۱
۱-۵-۵- تاثیر عمق دفن لوله	۱۲۲
۱-۵-۶- تاثیر نوع خاک	۱۲۰

فصل ششم: خلاصه، نتیجه گیری و پیشنهادات

۶-۱- خلاصه	۱۲۷
۶-۲- نتیجه گیری	۱۲۵
۶-۳- پیشنهادات برای طرحهای آتی	۱۲۹

۱۳۰	مراجع
-----	-------

فهرست اشکال

صفحه	شماره

۶ شکل ۲-۱: نمونه‌ای از اتصال صلب (جوش) لوله‌های فلزی.
۷ شکل ۲-۲: نمونه‌ای از اتصال انعطاف‌پذیر لوله‌های فلزی.
۱۰ شکل ۲-۳: رابطه بین قطر لوله‌های آسیب دیده و تعداد خرابی‌ها، زلزله کانتو، ژاپن، ۱۹۲۳.
۱۲ شکل ۲-۴: گسیختگی خط لوله فولادی انتقال آب شرب، زلزله مکزیکوسیتی، ۱۹۸۵.
۱۳ شکل ۲-۵: درصد خرابی در لوله‌های با اقطار مختلف در شبکه توزیع آب، زلزله کوبه، ژاپن، ۱۹۹۵.
۱۸ شکل ۲-۶: تعریف زاویه برخورد موج لرزه‌ای نسبت به محور خط لوله برای روابط ارائه شده در جدول (۴-۲).
۲۰ شکل ۲-۷: حالت سطحی انواع مختلف گسلش.
۲۰ شکل ۲-۸: تغییرات تراز روی جاده در مقطعی عمود بر پارگی سطح گسل در اثر زلزله Idaho ۱۹۸۳.
۲۱ شکل ۲-۹: آسیب‌های واردہ به لوله‌های مدفون در اثر گسلش.
۲۲ شکل ۲-۱۰: نمای پلان از معادله [۵-۵] خط لوله.
۲۴ شکل ۲-۱۱: نیروی شناوری وارد بر لوله‌های مدفون در اثر روانگرایی.
۲۶ شکل ۲-۱۲: پدیده روانگرایی در امتداد خط لوله آلاسکا.
۲۷ شکل ۲-۱۳: نقشه قابلیت روانگرایی منطقه‌ای-منطقه های وارد.
۲۸ شکل ۲-۱۴: عکس العمل لوله مقابل PGD عرضی.
۳۰ شکل ۲-۱۵: انواع جابجایی‌های زمین لغزش.
۳۱ شکل ۲-۱۶: یک نمونه مکانیزم گسیختگی زمین در زمین لرزه.
۳۱ شکل ۲-۱۷: شکل شماتیک تغییر مکان خط لوله در معرض گسیختگی شیروانی.
۳۲ شکل ۲-۱۸: اثرات اصلی زمین لغزش‌ها روی خطوط لوله مطابق با جهت‌گیری شان.
۳۴ شکل ۲-۱۹: پاسخ خط لوله به تغییر مکان جانبی خاک (Transverse PGD).
۳۶ شکل ۲-۲۰: مدل اندرکنش خاک-لوله و پاسخ بار-تغییر مکان خاک.
۳۶ شکل ۲-۲۱: شمای کلی آزمایش و نمایی از سطح خاک.
۳۷ شکل ۲-۲۲: کرنش اندازه گیری شده در لوله.
۳۷ شکل ۲-۲۳: نحوه نصب سنسورهای اندازه گیری کرنش و نیرو.
۳۸ شکل ۲-۲۴: دیگرام شماتیک آزمایش اندرکنش خاک لوله. (الف) حرکت جانبی (ب) حرکت قائم رو به بالا.

..... شکل ۲-۲۵: نتایج مدل فیزیکی در مقایسه با راه حل های تحلیلی برای حرکت جانبی لوله.(الف) ماسه نیمه متراکم.(ب) ماسه متراکم.....	۳۸
..... شکل ۲-۲۶: نتایج مدل فیزیکی در مقایسه با راه حل های تحلیلی برای حرکت قائم لوله.(الف) ماسه نیمه متراکم.(ب) ماسه متراکم.....	۳۹
..... شکل ۲-۲۷: شمای کلی آزمایش.(الف) مقطع لوله و کرنش سنج.(ب)نمای جانبی.(ج)نمای پلان.....	۳۹
..... شکل ۲-۲۸: شمای کلی گسینختگی خاک در اثر گسل.....	۴۰
..... شکل ۲-۲۹: نحوه حرکت ذرات خاک در اثر گسل.....	۴۰
..... شکل ۲-۳۰: نحوه توزیع کرنش خمثی در امتداد لوله.....	۴۱
..... شکل ۲-۳۱-(الف) مقطع عرضی لوله در بستر دریا(ب) نحوه مدلسازی لوله.....	۴۳
..... شکل ۲-۳۲-(الف) توزیع لنگر خمثی.(ب) جابجایی قائم لوله.....	۴۳
..... شکل ۲-۳۳-(الف) رابطه بین کرنش و جابجایی.(ب) رابطه بین حداکثر لنگر خمثی و جابجایی.....	۴۴
..... شکل ۲-۳۴-(الف) جابجایی لوله.(ب) توزیع لنگر خمثی در لوله.....	۴۴
..... شکل ۲-۳۵: اثر گسلش بر المان خاک در سه زاویه.....	۴۵
..... شکل ۲-۳۶: نمونه ای از مش بندی المان محدود(الف) حرکت جانبی (ب) حرکت رو به بالا,(34).H/D=8.5.....	۴۵
..... شکل ۲-۳۷: روابط نیرو-تغییر مکان برای حرکت جانبی لوله در ماسه نیمه متراکم در اعماق مختلف.....	۴۶
..... شکل ۲-۳۸: نیروی بدون برای H/D های مختلف در حالت حرکت جانبی و حرکت قائم رو به بالا.....	۴۷
..... شکل ۲-۳۹: نیروی بدون برای H/D های مختلف در حالت حرکت قائم رو به بالا.....	۴۷
..... شکل ۳-۱: ترتیب محاسبات در FLAC.....	۵۱
..... شکل ۳-۲: (الف) بردار نیروهای گرهی، (ب) المان نمونه مثلثی همراه با بردارهای سرعت، (ج) المانهای چهارگوش.....	۵۳
..... شکل ۳-۳: مدل شماتیک شمع تحت بار جانبی	۶۰
..... شکل ۳-۴: نمایی از مدل FLAC (استفاده از المانهای Interface و Beam برای انداختن جانبی خاک/شعع) ...	۶۰
..... شکل ۳-۵: مشخصه های المان تیر در FLAC	۶۱
..... شکل ۳-۶: مقطع عرضی تیر مستطیلی با ممان اینرسی I و سطح مقطع A در FLAC	۶۱
..... شکل ۳-۷: جهت کسینوس ها برای یک المان تیر در FLAC	۶۲
..... شکل ۳-۸: سطح مشترک بین صفحات a و b، اتصال با فنرهای نرمال (k_n) و برشی (k_s) در FLAC	۶۴
..... شکل ۳-۹: بعد ناحیه مورد استفاده برای محاسبه سختی در FLAC	۶۵

شکل ۴-۳: الگوریتم حل مدل در FLAC

- ۷۰..... شکل ۴-۱:(الف) نحوه بارگذاری و شرایط مرزی و مدل لوله.(ب) نحوه گسیختگی المان خاک.....
- ۷۴..... شکل ۴-۲: تعداد المانها در مدل.....
- ۷۵..... شکل ۴-۳: مقدار نیروی نامتعادل گرهی در هر گام محاسباتی در آنالیز ژئواستاتیکی مدل.....
- ۷۵..... شکل ۴-۴: نمای شماتیک جابجایی گسل و لوله مدفون.....
- ۷۷..... شکل ۴-۵: منحنی لنگر خمی بدهست آمده از ALA.....
- ۷۸..... شکل ۴-۶: منحنی لنگر خمی بدهست آمده از $FLAC^{2D}$ (نیوتون-متر).....
- ۷۸..... شکل ۴-۷: منحنی لنگر خمی بدهست آمده از $FLAC^{2D}$ (کیلوپوند-اینچ).....
- ۷۸..... شکل ۴-۸: تطابق منحنی لنگر خمی بدهست آمده از $FLAC^{2D}$ و ALA.....
- ۷۹..... شکل ۴-۹: نمای شماتیک نحوه تغییر شکل لوله در اثر گسل نرمال.....
- ۸۰..... شکل ۴-۱۰: بردارهای جابجایی المان های خاک برای $\beta=90^\circ$
- ۸۰..... شکل ۴-۱۱: بردارهای جابجایی المان های خاک برای $\beta=90^\circ$ (نمای نزدیک).....
- ۸۱..... شکل ۴-۱۲: بردارهای جابجایی المان های خاک برای $\beta=60^\circ$
- ۸۱..... شکل ۴-۱۳: بردارهای جابجایی المان های خاک برای $\beta=45^\circ$
- ۸۲..... شکل ۴-۱۴: نمودار تغییر شکل لوله در جهت قائم.....
- ۸۲..... شکل ۴-۱۵: نمودار کرنش برشی خاک برای $\beta=90^\circ$
- ۸۳..... شکل ۴-۱۶: نمودار کرنش برشی خاک برای $\beta=60^\circ$
- ۸۳..... شکل ۴-۱۷: نمودار کرنش برشی خاک برای $\beta=45^\circ$
- ۸۴..... شکل ۴-۱۸: نمودار تغییر مکان قائم خاک برای $\beta=90^\circ$
- ۸۴..... شکل ۴-۱۹: نمودار تغییر مکان قائم خاک برای $\beta=60^\circ$
- ۸۵..... شکل ۴-۲۰: نمودار تغییر مکان قائم خاک برای $\beta=45^\circ$
- ۸۵..... شکل ۴-۲۱: تغییرات تنش قائم در خاک برای $\beta=90^\circ$
- ۸۶..... شکل ۴-۲۲: تغییرات تنش قائم در خاک برای $\beta=60^\circ$
- ۸۶..... شکل ۴-۲۳: تغییرات تنش قائم در خاک برای $\beta=45^\circ$
- ۸۷..... شکل ۴-۲۴: منحنی لنگر خمی لوله برای $\beta=90^\circ$
- ۸۷..... شکل ۴-۲۵: منحنی لنگر خمی لوله برای $\beta=60^\circ$
- ۸۸..... شکل ۴-۲۶: منحنی لنگر خمی لوله برای $\beta=45^\circ$
- ۸۸..... شکل ۴-۲۷: منحنی نیروی محوری لوله برای $\beta=90^\circ$
- ۸۹..... شکل ۴-۲۸: منحنی نیروی محوری لوله برای $\beta=60^\circ$
- ۸۹..... شکل ۴-۲۹: منحنی نیروی محوری لوله برای $\beta=45^\circ$
- ۹۰..... شکل ۴-۳۰: نمای شماتیک نحوه تغییر شکل لوله در اثر گسل معکوس.....
- ۹۰..... شکل ۴-۳۱: نمودار کرنش برشی خاک برای $\beta=60^\circ$

شکل ۴-۳۲: نمودار کرنش برشی خاک برای $\beta=45^\circ$

91.....

- شکل ۴-۳۳: نمودار کرنش برشی خاک برای $\beta=30^\circ$
- شکل ۴-۳۴: نمودار تغییر مکان قائم خاک برای $\beta=90^\circ$
- شکل ۴-۳۵: نمودار تغییر مکان قائم خاک برای $\beta=60^\circ$
- شکل ۴-۳۶: نمودار تغییر مکان قائم خاک برای $\beta=45^\circ$
- شکل ۴-۳۷: نمودار تغییر مکان قائم خاک برای $\beta=30^\circ$
- شکل ۴-۳۸: بردارهای جابجایی المان های خاک برای $\beta=60^\circ$
- شکل ۴-۳۹: بردارهای جابجایی المان های خاک برای $\beta=45^\circ$
- شکل ۴-۴۰: منحنی نیروی محوری لوله برای $\beta=60^\circ$
- شکل ۴-۴۱: منحنی نیروی محوری لوله برای $\beta=45^\circ$
- شکل ۴-۴۲: منحنی نیروی محوری لوله برای $\beta=30^\circ$
- شکل ۴-۴۳: منحنی لنگر خمثی لوله برای $\beta=90^\circ$
- شکل ۴-۴۴: منحنی لنگر خمثی لوله برای $\beta=60^\circ$
- شکل ۴-۴۵: منحنی لنگر خمثی لوله برای $\beta=45^\circ$
- شکل ۴-۴۶: منحنی لنگر خمثی لوله برای $\beta=30^\circ$
- شکل ۴-۴۷: منحنی نیروی محوری لوله برای $T=2\text{cm}$
- شکل ۴-۴۸: منحنی نیروی محوری لوله برای $T=1.6\text{cm}$
- شکل ۴-۴۹: منحنی نیروی محوری لوله برای $T=1.2\text{cm}$
- شکل ۴-۵۰: منحنی نیروی محوری لوله برای $T=0.8\text{cm}$
- شکل ۴-۵۱: منحنی لنگر خمثی لوله برای $T=2\text{cm}$
- شکل ۴-۵۲: منحنی لنگر خمثی لوله برای $T=1.6\text{cm}$
- شکل ۴-۵۳: منحنی لنگر خمثی لوله برای $T=1.2\text{cm}$
- شکل ۴-۵۴: منحنی لنگر خمثی لوله برای $T=0.8\text{cm}$
- شکل ۴-۵۵: منحنی نیروی محوری لوله برای $D=200\text{cm}$
- شکل ۴-۵۶: منحنی نیروی محوری لوله برای $D=120\text{cm}$
- شکل ۴-۵۷: منحنی نیروی محوری لوله برای $D=80\text{cm}$
- شکل ۴-۵۸: منحنی لنگر خمثی لوله برای $D=200\text{cm}$
- شکل ۴-۵۹: منحنی لنگر خمثی لوله برای $D=160\text{cm}$
- شکل ۴-۶۰: منحنی لنگر خمثی لوله برای $D=120\text{cm}$
- شکل ۴-۶۱: منحنی لنگر خمثی لوله برای $D=80\text{cm}$
- شکل ۴-۶۲: منحنی نیروی محوری لوله برای $H=2\text{m}$
- شکل ۴-۶۳: منحنی نیروی محوری لوله برای $H=3\text{m}$
- شکل ۴-۶۴: منحنی نیروی محوری لوله برای $H=4\text{m}$

..... شکل ۴-۶۵: منحنی نیروی محوری لوله برای $H=5m$	109
..... شکل ۴-۶۶: منحنی لنگر خمی لوله برای $H=2m$	109
..... شکل ۴-۶۷: منحنی لنگر خمی لوله برای $H=3m$	110
..... شکل ۴-۶۸: منحنی لنگر خمی لوله برای $H=4 m$	110
..... شکل ۴-۶۹: منحنی لنگر خمی لوله برای $H=5m$	111
..... شکل ۴-۷۰: منحنی نیروی محوری لوله برای $\Phi=35^\circ$	112
..... شکل ۴-۷۱: منحنی نیروی محوری لوله برای $\Phi=40^\circ$	112
..... شکل ۴-۷۲: منحنی نیروی محوری لوله برای $\Phi=45^\circ$	113
..... شکل ۴-۷۳: منحنی لنگر خمی لوله برای $\Phi=35^\circ$	113
..... شکل ۴-۷۴: منحنی لنگر خمی لوله برای $\Phi=40^\circ$	114
..... شکل ۴-۷۵: منحنی لنگر خمی لوله برای $\Phi=45^\circ$	114
..... شکل ۴-۷۶: منحنی لنگر خمی لوله برای خاک یک لايه	115
..... شکل ۴-۷۷: منحنی لنگر خمی لوله برای خاک دو لايه	116
..... شکل ۴-۷۸: منحنی نیروی محوری لوله برای خاک یک لايه	116
..... شکل ۴-۷۹: منحنی نیروی محوری لوله برای خاک دو لايه	117
 شکل ۵-۱: تغییرات نیروی محوری در طول لوله در اثر گسل نرمال با زاویه های متفاوت	118
..... شکل ۵-۲: تغییرات لنگر خمی در طول لوله در اثر گسل نرمال با زاویه های متفاوت	119
..... شکل ۵-۳: تغییرات نیروی محوری در طول لوله در اثر گسل معکوس با زاویه های متفاوت	119
..... شکل ۵-۴: تغییرات لنگر خمی در طول لوله در اثر گسل معکوس با زاویه های متفاوت	120
..... شکل ۵-۵: تغییرات لنگر خمی در طول لوله با ضخامت های متفاوت	120
..... شکل ۵-۶: تغییرات نیروی محوری در طول لوله با ضخامت های متفاوت	121
..... شکل ۵-۷: تغییرات کرنش محوری در طول لوله با ضخامت های متفاوت	121
..... شکل ۵-۸: تغییرات لنگر خمی در طول لوله با قطرهای متفاوت	122
..... شکل ۵-۹: تغییرات نیروی محوری در طول لوله با قطرهای متفاوت	122
..... شکل ۵-۱۰: تغییرات کرنش محوری در طول لوله با قطرهای متفاوت	123
..... شکل ۵-۱۱: تغییرات لنگر خمی در طول لوله با عمق دفن متفاوت	123
..... شکل ۵-۱۲: تغییرات نیروی محوری در طول لوله با عمق دفن متفاوت	124
..... شکل ۵-۱۳: تغییرات کرنش محوری در طول لوله با عمق دفن متفاوت	124
..... شکل ۵-۱۴: تغییرات لنگر خمی در طول لوله برای خاک بامقاومت متفاوت	125
..... شکل ۵-۱۵: تغییرات نیروی محوری در طول لوله برای خاک با مقاومت متفاوت	125
..... شکل ۵-۱۶: تغییرات لنگر خمی در طول لوله برای خاک یک و دو لايه	126
..... شکل ۵-۱۷: تغییرات نیروی محوری در طول لوله برای خاک یک و دو لايه	126

فهرست جداول

صفحه	شماره
جدول ۲-۱: طبقه بندی انواع لوله بر اساس عملکرد لرزهای	۸
جدول ۲-۲: خسارت واردہ به شبکه آب و فاضلاب، زلزله سانفرناندو، ۱۹۷۱	۱۱
جدول ۲-۳: خطرات زلزله و پارامترهای لازم در طراحی خط لوله	۱۵
جدول ۲-۴: کرنشهای حاصله در اثر انتشار امواج لرزهای در طول یک خط لوله	۱۸
جدول ۲-۵: مشخصات کلی آزمایشها انجام گرفته	۳۹
جدول ۲-۶: مشخصات مکانیکی لوله ها	۴۰
جدول ۲-۷: مشخصات مکانیکی لوله	۴۳
جدول ۳-۱: طبقه بندی کلی روش های عددی	۵۰
جدول ۳-۲: مقایسه روش های حل صریح و غیر صریح	۵۲
جدول ۳-۳: مدل های رفتاری مختلف بکار رفته در FLAC	۷۷
جدول ۴-۱: مقادیر α با توجه به پوشش سطح لوله	۷۶
جدول ۴-۲: مشخصات مصالح بکار رفته در مدل	۷۹
جدول ۴-۳: مشخصات ماسه مورد استفاده در مدل	۱۱۱
جدول ۴-۴: مشخصات ماسه مورد استفاده در مدل خاک دو لایه	۱۱۵

فصل اول

کلیات

۱-۱- مقدمه

طراحی امکانات رفاهی عمومی و تاسیسات شهری جهت مقابله با تاثیرات زمین لرزه، توجه روزافرون برنامه ریزان شهری و جوامع مهندسی را به خود جلب کرده است. گذشت بیش از نیم قرن از عمر تاسیسات شهری در مناطق زلزله خیز و بررسی رفتار آنها در برابر زلزله تحولات جدیدی در مهندسی زلزله به ویژه در رابطه با شریانهای حیاتی بوجود آورده است. هنگام وقوع زلزله لایه هایی که بر روی سنگ کف قرار گرفته اند، به صورت رفت و برگشت و یا ماندگار جابجا می شوند. تغییر شکل زمین چه بصورت متناوب و چه بصورت ماندگار می تواند باعث وارد شدن خسارت بر سازه های روزمزین و زیرزمینی شود، لذا آسیب پذیری شریانهای حیاتی در برابر صدمات زلزله به اثبات رسیده است. معروفی خطوط توزیع و انتقال نفت و گاز، آب و فاضلاب بعنوان شریانهای حیاتی بیانگر اهمیت عملکرد آنها در حفظ ایمنی و سلامت عموم می باشد. بیمارستانها، مراکز امدادی، امکانات رفاهی، همه مثالهایی از تاسیساتی هستند که وابسته به این خطوط لوله می باشند. نیاز به حفظ چنین خدماتی برای فراهم آوردن عملیات نجات و امداد پس از یک زلزله بزرگ نشان می دهد که اغتشاشات اجتماعی- اقتصادی پس از زلزله در اثر قطع برق، آب و یا آتش سوزی ناشی از صدمه به خطوط لوله بطور قابل ملاحظه ای تشديد می یابد.

۲-۱- هدف تحقیق

گرچه دانش فنی در زمینه مهندسی زلزله شریانهای حیاتی در برخی کشورها پیشرفت قابل توجهی داشته است، با اینحال این بحث در کشور ما بلحاظ لرزه خیز بودن آن و نو بودن موضوع حائز اهمیت بوده و نیازمند تحقیقات وسیعتری می باشد. یک سیستم خط لوله به لحاظ گستردگی و گذر از یک ناحیه جغرافیایی وسیع، ممکن است مواجه با خطرات لرزهای بسیار و شرایط گوناگون خاک باشد. خطرات لرزه ای تهدید کننده لوله های مدفون به طور کلی در دو گروه (الف) جابجایی های ماندگار زمین، شامل گسلش، زمین لغزه، روانگرایی؛ (ب) حرکات لرزشی زمین؛ دسته بندی می شود.

هدف از تحقیق حاضر بررسی رفتار و عملکرد لوله های مدفون در برابر حرکات گسل می باشد. تغییر مکانهای ناهمگون و ماندگار زمین که اصطلاحاً PGD نامیده می شود، باعث آسیب دیدگی خطوط لوله مدفون می شود. تخمین مقدار واقعی PGD موضوع تحقیق بسیاری از دانشمندان بوده و روابط متعددی برای محاسبه مقدار آن ارائه شده است. هدف از این تحقیق شناخت و برآورد مقدار بارهای واردہ بر لوله ناشی از جابجایی توده خاک، بصورت جزئی تر می باشد. بدین منظور مدل عددی سیستم مرکب خاک و لوله تهیه شده است.

۱-۳- فرضیات تحقیق

همانطور که گفته شد، هدف از این تحقیق، مطالعه تاثیر حرکات گسل بر رفتار لوله های مدفون می باشد. بمنظور مطالعه جزئی تر نخست انواع خطوط لوله مدفون مورد بررسی قرار گرفته است. بطور کلی خطوط لوله مدفون با توجه به اهمیت عملکرد آنها در برابر زلزله به چهار دسته، اهمیت کم، معمولی، زیاد و خیلی زیاد و از نظر نوع اتصالات به دو دسته اصلی خطوط لوله ممتدا و خطوط لوله منقطع تقسیم بندی می شود. در خطوط لوله ممتدا، قطعات لوله و اتصالات نظری اتصال نوع جوشی، بهم پیوسته بوده و تغییر شکلهای قطعات از همدیگر پیروی می کند در حالیکه در خطوط لوله منقطع اتصالات انعطاف پذیر بوده و تغییر شکل یک قطعه لوله نسبت به قطعه مجاور در اثر بارهای واردہ متفاوت می باشد. در مطالعه رفتار خطوط لوله منقطع، بیشتر به نیروهای محوری حاصله در اثر کشش یا فشار حاصل از حرکت نسی خاک و لوله در محل اتصالات پرداخته می شود و اغلب نتایج مطالعات به تقویت و بهبود اتصالات در اثر تغییر شکلهای واردہ محدود می شود. برای تحقیق حاضر از روشهای عددی استفاده شده است، مدل مربوطه در نرم افزار FLAC^{2D} شبیه سازی شده است. این نرم افزار یکی از قویترین نرم افزارهای مهندسی ژئوتکنیک بوده و قابلیتهای مناسبی برای مدلسازی اندرکنش خاک- سازه را داراست و با استفاده از روش تفاضل محدود اقدام به حل مسائل می کند. در نرم افزار FLAC^{2D} مدل مورد نظر بصورت دو بعدی و کرنش مسطح می باشد. همچنین در این تحقیق مطالعه اندرکنش طولی به شرایط ماسه خشک محدود شده است. جنس مصالح لوله از نوع لوله فولادی با ضخامت ثابت فرض شده است. در بحث لوله های فولادی، بتی و چدنی بجز لوله های پلی اتیلنی معمولاً از انحناء و لهیگی مقطع لوله بدليل ناچیز بودن آن صرفنظر می شود. بنابراین در مدل مورد نظر مقطع لوله صلب فرض شده . نوع سیال و فشار داخل آن در لوله های صلب تاثیر چندانی بر اندرکنش خاک لوله ندارد، با اینحال وزن لوله در نظر گرفته شده است. همچنین مطالعه آمار خرابی خطوط لوله مدفون در زلزله های گذشته نشان می دهد که عمدۀ عامل خرابی در اثر جابجایی های ناشی از

گسیختگی زمین می باشد و جابجایی های حاصل از انتشار امواج در مقایسه با جابجایی های حاصل از PGD بقدرتی کوچک و گذرا بوده که تاثیر چندانی بر لوله های مدفون ندارد.

۱-۴- روشن تحقیق

بطور کلی اولین گام برای تحقیق و پژوهش، جمع آوری اطلاعات علمی موضوع مورد نظر می باشد. بازبینی و مطالعه مطالب علمی و نتایج محققان، ما را در انجام بهتر و دقیق تر موضوع در جهت تکمیل دانش موجود و نیل به یافته های جدید یاری می رساند. در تحقیق حاضر نخست سعی شده است اطلاعات کاملی در ارتباط با انواع لوله های مدفون، انواع مخاطرات لرزه ای تهدید کننده لوله های مدفون، علل آسیب پذیری لوله های مدفون طی زمین لرزه های قبلی و مطالعات انجام گرفته بر روی لوله های مدفون گردآوری و بررسی گردد. سپس با توجه به هدف تحقیق، مدل عددی سیستم مرکب خاک و لوله با استفاده از نرم افزار FLAC^{2D} تهیه شده است. انتخاب این نرم افزار بعنوان ابزار مناسب تحقیق، براساس مطالعه قابلیت های نرم افزار در مدلسازی مسائل ژئوتکنیکی و سازه ها، خروجی ها و نتایج قابل ارائه و مدلسازی رفتار مصالح انجام شده است. توضیحات مربوط به معرفی نرم افزار بصورت خلاصه در متن تحقیق حاضر آمده است. این نرم افزار از روش تفاضل محدود صریح برای حل مسائل استفاده می کند.

به منظور مطالعه پارامتریک، برخی از ویژگی های خاک و لوله بعنوان موثر ترین پارامترها مدنظر واقع شده است. در این تحقیق تاثیر شش عامل (۱) نوع گسل، (۲) زاویه گسلش، (۳) ضخامت لوله، (۴) قطر لوله، (۵) عمق دفن لوله، (۶) نوع خاک اطراف لوله بررسی شده است..

۱-۵- فصل بندی پایان نامه

این پایان نامه مشتمل بر شش فصل است. در فصل اول به کلیات پایان نامه شامل معرفی موضوع تحقیق و اهمیت آن، هدف از تحقیق و روش انجام آن پرداخته شد. در ادامه و در فصل دوم، نخست کلیاتی در زمینه معرفی لوله های مدفون و انواع آنها ارائه شده است. سپس انواع مخاطرات لرزه ای لوله های مدفون توصیف و به بررسی عملکرد آنها طی زلزله های مهم گذشته پرداخته شده است. پس از شناخت کلی انواع آسیب های محتمل، روشها و مدل های تحلیلی موجود، مطالعات و یافته های محققان و دانشمندان قبلی مورد بازبینی قرار گرفته است. بطور کلی در فصل دوم سعی شده یک جمع بندی در ارتباط با موضوع تحقیق و شناختی که تاکنون در ارتباط با رفتار لرزه ای لوله های مدفون حاصل شده، ارائه گردد.

در فصل سوم نرم افزار FLAC^{2D} معرفی قابلیت‌های آن در مدلسازی تحقیق حاضر بیان شده است. نحوه آنالیز، تشکیل معادلات تفاضل محدود و روش حل مسئله در این نرم افزار بطور خلاصه آمده است. سپس روش مدلسازی، شرایط اولیه و مرزی، المانهای سازه‌ای و اندرکنش سازه با خاک در برنامه FLAC^{2D} بیان شده است. بطور کلی براساس توضیحات ارائه شده می‌توان نتیجه گرفت که این نرم افزار ابزار مناسبی برای تحقیق حاضر می‌باشد.

در فصل چهارم مطالعات عددی و آنالیز پارامتریک لوله‌های مدفون در ماسه انجام شده است. خروجی‌های نرم افزار شامل نتایج مربوط به لوله و اطراف آن بطور خلاصه در این فصل آورده شده است. نتایج عددی آنالیز پارامتریک در فصل پنجم ارائه شده است. در فصل ششم نیز نتیجه گیری کلی تحقیق و پیشنهاداتی برای طرح‌های مطالعاتی آتی ارائه شده است.

فصل دوم

ادبیات فنی و پیشینه موضوع

-۱- مقدمه

خطوط انتقال سیالات بعنوان مهم‌ترین تأسیسات زیربنایی هر شهر محسوب می‌شود و جهت ایمن سازی هر شهر یا کشور در مقابل زلزله بیش از هر چیز باید از استحکام و مقاومت در برابر زلزله اطمینان حاصل گردد. خطوط توزیع و انتقال، بواسطه گستردگی وسیع و قرارگیری در شرایط مختلف زمین در زلزله آسیب قابل توجهی می‌بینند که نه تنها به انهدام آنها منجر می‌شود بلکه خسارات ثانویه نظیر آتش سوزی و گسترش آن بعلت قطع آب و مشکلات بهداشتی و زندگی برای مردم حتی تا روزها و ماهها بعد از زلزله ایجاد می‌کند.

تعداد خرابی‌های قابل توجه در شبکه توزیع آب در زلزله‌های اخیر نظیر زلزله ۱۹۹۴ نورت‌ریچ^۱ ماریکا و زلزله ۱۹۹۵ کوبه^۲ ژاپن سبب گردید تا شاخه جدیدی در مهندسی زلزله بنام مهندسی زلزله در شرایط‌های حیاتی مانند شبکه توزیع آب، گاز، فاضلاب، مخابرات و برق مطرح گردد. در زلزله ۱۹۹۵ کوبه ژاپن بیش از ۱۰۰۰ نقطه از شبکه توزیع آب آسیب دید بطوریکه قریب یک میلیون نفر تا ۶۰ روز با مشکل کمبود آب مواجه شدند. در سال ۱۹۹۷ راهنمای طراحی و ساخت تأسیسات آبرسانی توسط سازمان آب ژاپن (JWWA) منتشر و در سال ۱۹۹۸ براساس تجربیات زلزله کوبه تجدیدنظر گردید و نیز در سال ۱۹۹۹ دستورالعمل و راهنمای طراحی و مقاوم سازی تأسیسات آبرسانی توسط FEMA امریکا تدوین گردیده و آخرین اصلاحات و تجدیدنظر آن در سال ۲۰۰۵ چاپ شده است.

در هر شبکه، لوله‌های مدفون بدلیل کاربردهای گوناگونی چون تامین آب آشامیدنی، دفع فاضلاب، انتقال مواد سوختی مثل نفت و گاز، عبور دادن خطوط انتقال برق و تلفن و استفاده در زمینه حمل و نقل مثل مترو و تونل، باعث شده که آنها بخش مهمی از سازه‌های شبکه‌ای را تشکیل دهند.

در این فصل، کلیاتی در رابطه با دسته‌بندی لوله‌های مدفون، انواع بارهای واردہ بر آنها، عملکرد لوله‌های مدفون در زلزله‌های گذشته، رفتار لوله‌های مدفون در برابر زلزله و مطالعات انجام گرفته در رابطه با آنالیز و طراحی لرزه‌ای لوله‌ها بیان می‌گردد.

¹Northridge

²Kobe

۲-۲- دسته‌بندی خطوط لوله

بسته به نوع هدف، ملاکهای متفاوتی برای دسته خطوط لوله وجود دارد که ذیلأً به عمدۀ این موارد اشاره می‌شود.

۱-۲-۲- خطوط لوله مدفعون و روزمینی

خطوط لوله عموماً بخارط مسائل ایمنی و زیبایی دفن می‌گردند. دفن لوله در زمین علاوه بر آنکه از نظر زیبایی سیمای تابعی را مختل نمی‌کند و محدودیت رفت و آمد بوجود نمی‌آورد، از سوی دیگر باعث حفظ خطوط لوله در برابر خطرهای محیطی مثل برخورد اجسام صلب و سنگین شده و کمترین اثر تغییرات شرایط جوی منطقه را دارد. اگرچه خطوط لوله عموماً زیرزمین قرار داده می‌شوند، ولی شرایط خاک در بعضی مواقع ایجاب می‌کند که بر روی سطح طبیعی زمین قرار گیرد و برای مهار آن از سیستم‌های تکیه گاهی روی زمینی استفاده شود. در بعضی حالات ممکن است روی لوله با خاکریزی پوشانده شود. به حال چنانچه نوع مهارها با حجم خاکریزی روی لوله تا حدی نباشد که بهنگام جایگایی زمین، خط لوله از تغییر شکل زمین پیروی کند به آن خط لوله روی زمین گفته می‌شود. تفاوت‌هایی که بین روش‌های تحلیلی خطوط لوله روزمینی و زیرزمینی (مدفعون) در نظر گرفته می‌شود، از طرف پژوهشگران متعددی چون Mondkar, Powell و Werner ارائه شده است [۱و۲].

۲-۲-۲- خطوط لوله با اتصالات صلب و انعطاف‌پذیر

روشن است که یک لوله دارای طول درازی است که برای ساخت آن، قطعات لوله به وسیله اتصالات سرهم شده‌اند. بسته به نوع اتصال بکار رفته قطعات ممکن است با هم یکپارچه و یا جداگانه عمل کنند. چنانچه اتصال قطعات بگونه‌ای باشد که اجازه جابجایی و چرخش نسبی قطعات مجاور نسبت بهم وجود نداشته باشد، به اتصال مزبور اتصال صلب گفته می‌شود. نمونه‌ای از این اتصال‌ها، اتصالات جوشی لوله‌های فولادی و رزوه شده لوله‌های فلزی یا اتصالات پر شده با ملات سیمان در مورد لوله‌های بتُنی است. (شکل ۱-۲)



شکل ۲-۱: نمونه‌ای از اتصال صلب(جوش) لوله‌های فلزی

چنانچه اتصالات قطعات بگونه‌ای باشد که قطعات مجاور اجازه جابجایی و یا دوران نسبی نسبت به هم داشته باشند، به چنین اتصالی انعطاف‌پذیر گفته می‌شود و نمونه‌ای از آن در شکل (۲-۲) نشان داده شده است.